

УДК 69.035.4

Т.В. Воронина

РАСЧЕТ ГРАНИЧНЫХ УСЛОВИЙ ДОЛГОВЕЧНОСТИ ЭЛЕМЕНТОВ МИКРОТОННЕЛЕЙ

Получены по результатам математического моделирования граничные условия долговечности железобетонных, стальных и полимерных обделок микротоннелей.
Ключевые слова: подземные коммуникации, микротоннели, граничные условия, полимерные обделки.

Семинар № 19

**T.V. Voronina
THE CALCULATION OF THE
BOUNDARY CONDITIONS OF THE
MICROTUNNEL COMPONENT
LONGEVITY**

The boundary conditions of the longevity of the iron, concrete, steel and polymer lining of the microtunnels are received.

Key words: underground pipelines, microtunnels, boundary conditions, polymer linings.

В настоящее время функционирование инженерных коммуникаций различного назначения способствует дальнейшему развитию современного городского хозяйства. Общий объем проведения подземных коммуникаций в Москве не менее 75-80 км/год, которые распределяются следующим образом: около 20% относится к тоннелям, имеющим диаметр 1,5-2 м, 23% - от 1 до 1,5 м, 45% - от 0,5 до 1м. Проведение такого количества тоннелей малого диаметра в условиях плотной городской застройки осуществляют методом микротоннелирования. Распространение микротоннелирования в подземном строительстве ставит перед городским хозяйством важный вопрос о надежности и долговечности тоннелей, сооружаемых этим способом. Отсутствие (в связи с коротким сроком эксплуатации) статистических данных о количестве и характере отказов микротоннелей не позволяет решать проблему тра-

диционными методами теории надежности. В этой связи на кафедре «Строительство подземных сооружений и шахт» предприняты попытки решения данной проблемы на базе анализа физико-химического взаимодействия материала продавливаемых труб с вмещающей тоннель и содержащейся в нем средой с целью определения характера и времени появления опасных дефектов, исключающих дальнейшую эксплуатацию микротоннелей. По известным закономерностям и разработкам были рассчитаны граничные условия - моменты возникновения угрозы разрушения элементов микротоннелей.

Срок службы микротоннелей зависит от характера физического и химического взаимодействия их с внутренней (протекающей по коллектору) и внешней (окружающей коллектор) средой. Предельным состоянием для железобетонных обделок микротоннелей следует считать момент достижения полной карбонизации защитного слоя или нарушение пассивности арматуры в наиболее слабом месте. Для металлических футляров микротоннелей предельное состояние выражается в изменении толщины конструкции в результате коррозии металла на определенной площади, которое приводит к смятию и последующему обрушению металлического футляра. В результате реакций деструкции (старения) происходят химические превращения в полиме-

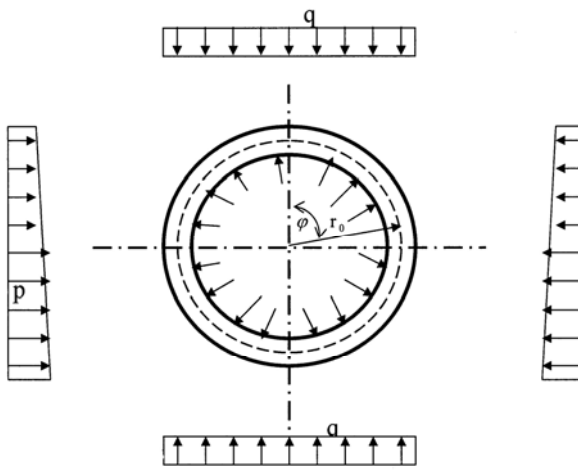


Рис. 1. Расчетная схема конструкции

заключенного в пространстве, ограниченном контуром свода. Нагрузку от нормативного горного давления на обделку принимают равномерно распределенной по диаметру (т.к. микротоннели имеют круглое сечение). При этом, нормативное горное давление вертикальное q^n и горизонтальное p^n , следует определять по формулам [6]:

$$q^n = K_p \gamma h_1;$$

$$p^n = \gamma (K_p h_1 + 0.5h) \lg^2 (45 - \frac{\varphi_k}{2}),$$

где K_p – коэффициент условий работы грунтового массива, принимаемый в глинистых грунтах – по таблице СНиП 32-04-97 «Гоннели железнодорожные и автодорожные»; γ – удельный вес грунта, kH/m^3 ; h – диаметр выработки, м; L – величина пролета; h_1 – высота свода обрушения над верхней точкой выработки, следует определять согласно [6; 4]:

$$L = B + 2h \lg^2 (45 - \frac{\varphi_k}{2}); \quad h_1 = L/2f$$

Нормативную вертикальную нагрузку от собственного веса конструкции вычисляли по размерам конструкции и удельному весу ее материала:

$$q_{c.s.}^n = A \cdot \gamma_0,$$

**Таблица 1
Расчетные нагрузки, действующие на обделки микротоннелей**

| Обделки микротоннелей | Внешний/внутренний диаметры обделок микротоннелей, мм | Расчетные нагрузки, действующие на обделки микротоннелей | |
|-----------------------|---|--|--|
| | | Вертикальная равномерно распределенная q , kH/m^2 | Горизонтальная равномерно распределенная p , kH/m^2 |
| Железобетонные | D=1495/1200 | 95,17 | 16,9 |
| Стальные | D=1220/1200 | 81,56 | 16,9 |
| Полимерные | D=1200/1154 | 76,03 | 16,2 |

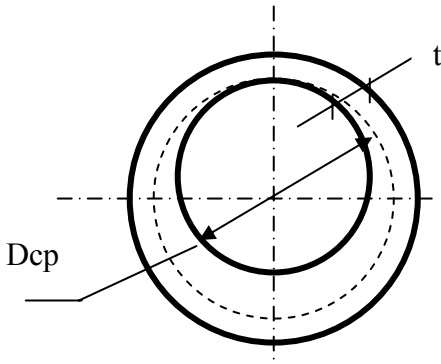


Рис. 2

где A – площадь поперечного сечения, вычисляем по формуле

$$A = \pi \cdot D_{cp} \cdot t, \text{ м}^2 [2] \quad (\text{рис. 2})$$

T – толщина стенки трубы, м; γ_b – удельный вес трубы, кН/м³ (учитываем материал трубы – железобетон, сталь, ПНД).

В результате расчетов получены следующие значения нагрузок для железобетонных, стальных и полимерных обделок (табл. 1). Временная нагрузка от подвижного колесного транспорта не учитывалась.

Согласно методике [6] усилия в трубах от действующих нагрузок в вертикальной плоскости определены как для замкнутого статически неопределенного кольца с учетом упругого отпора грунта.

Далее определили внутренние усилия в бетонной обделке тоннеля заданного диаметра при исходных данных: вертикальная и горизонтальная нагрузка (см. табл. 1). Трубы для микротоннельной прокладки рассчитаны на проходку в грунтах со следующими характеристиками: объемный вес грунта $\gamma = 1,9 \text{ т/м}^3$, угол внутреннего трения $\varphi = 30^\circ$, модуль упругости грунта $E = 240 \text{ кгс/см}^2$ (24 МПа), коэффициент Пуассона пород $\mu = 0,25$. Материал обделки бетон класса В40 с нормативными характеристиками по СНиП 52-01-2003 «Бетонные и железобетонные конструкции»: модулем упругости

$E_b = 3,6 \cdot 10^4 \text{ МПа}$, объемный вес железобетонной трубы $\gamma = 2,5 \text{ т/м}^3$, приизменной прочностью $R_b = 22,0 \text{ МПа}$ и расчетным сопротивлением на рафтяжение $R_{bt} = 1,4 \text{ МПа}$.

Результаты расчетов сводим в строки 3 и 4 табл. 2. Единичные изгибающие моменты \bar{M}_ψ (строка 5) и нормальные силы \bar{N}_ψ (строка 6). Реальные усилия получили по формулам:

$$M_\psi = q r_0^2 \sum \bar{M}_\psi, \quad N_\psi = q r_0 \sum \bar{N}_\psi.$$

Результаты расчетов для бетонной обделки от вертикального и горизонтального давления полного столба грунта в природном залегании и полного веса трубы приведены в строках 7 и 8 табл. 2 и графически представлены в виде эпюр внутренних усилий на рис. 2.

Исходные данные для

1) стального футляра – сталь обычного качества марки Ст 3сп класса прочности С 255 с нормативными характеристиками по СНиП II-23-81 «Стальные конструкции»: пределом текучести $\sigma_m = 255 \text{ МПа}$, времененным сопротивлением $\sigma_e = 380 \text{ МПа}$, модулем упругости $E_c = 2,1 \cdot 10^5 \text{ МПа}$, объемный вес стальной трубы $\gamma_n = 7,85 \text{ т/м}^3$, Нормативное сопротивление R_{up} принято равным пределу текучести стали $\sigma_m = 255 \text{ МПа}$, т.е. $R_{up} = 255 \text{ МПа}$. Момент инерции сечения

$$J = 0,3926 D_{cp}^3 \cdot t, \text{ м}^4;$$

2) полимерных обделок: модуль упругости $E = 1,1 \cdot 10^5 \text{ МПа}$, объемный вес материала полиэтиленовой трубы $\gamma_n = 0,96 \text{ т/м}^3$, прочность на растяжение 340-350 кг/мм².

В строках 9, 10 табл. 2, 3, 4 приведены значения реальных усилий для железобетонных, стальных и полимерных обделок соответственно от давления сточных вод, протекающих по микротоннелю

Таблица 2

**К расчету железо бетонной обделки кольцевого
очертания диаметром 1495 (1200) мм**

| № п/п | ψ | 0 | 15 | 30 | 45 | 60 | 75 | 90 |
|----------|----------------------|--------|---------|---------|--------|---------|---------|---------|
| | | 180 | 165 | 150 | 135 | 120 | 105 | |
| 1 | \bar{M}_ψ^a | -0,205 | -0,1775 | -0,1025 | 0 | 0,1025 | 0,1775 | 0,205 |
| 2 | \bar{N}_ψ^a | 0,18 | 0,2348 | 0,385 | 0,59 | 0,795 | 0,945 | 1 |
| 3 | \bar{M}_ψ^{OT} | 0,0032 | 0,0028 | 0,0017 | 0 | -0,0022 | -0,0039 | -0,0045 |
| 4 | \bar{N}_ψ^{OT} | 0,0011 | 0,01 | 0,0094 | 0,0076 | 0,005 | 0,0035 | 0,0031 |
| 5 | $\sum \bar{M}_\psi$ | -0,202 | -0,1747 | -0,1108 | 0 | 0,1003 | 0,1736 | 0,2005 |
| 6 | $\sum \bar{N}_\psi$ | 0,191 | 0,2448 | 0,3944 | 0,6026 | 0,8025 | 0,9485 | 1,0031 |
| 7 | M_ψ^e , кНм | -8,73 | -7,55 | -4,35 | 0 | 4,33 | 7,5 | 8,66 |
| 8 | N_ψ^e , кН | 12,24 | 15,69 | 25,29 | 38,65 | 51,46 | 60,83 | 64,33 |
| 9 | $M_\psi^{''e}$, кНм | 0,78 | 0,69 | 0,48 | 0,14 | -0,25 | -0,61 | -0,88 |
| 10 | $N_\psi^{''e}$, кН | -7,95 | -7,63 | -7,51 | -7 | -6,45 | -6,11 | -5,51 |

Таблица 3

**К расчету стального футляра кольцевого
очертания диаметром 1220(1200) мм.**

| № п/п | ψ | 0 | 15 | 30 | 45 | 60 | 75 | 90 |
|----------|---------------------|----------|-----------|----------|----------|------------|-----------|-----------|
| | | 180 | 165 | 150 | 135 | 120 | 105 | |
| 1 | \bar{M}_ψ^a | -0,1983 | -0,1717 | -0,099 | 0 | 0,099 | 0,1717 | 0,1983 |
| 2 | \bar{N}_ψ^a | 0,207 | 0,26 | 0,4053 | 0,6035 | 0,8018 | 0,9439 | 1 |
| 3 | \bar{M}_ψ^{OT} | 0,000011 | 0,0000097 | 0,000006 | 0 | -0,0000074 | -0,000013 | -0,000016 |
| 4 | \bar{N}_ψ^{OT} | 0,000037 | 0,000036 | 0,000032 | 0,000026 | 0,000019 | 0,000013 | 0,000011 |

| | | | | | | | | |
|----|------------------------|----------|----------|----------|----------|----------|----------|----------|
| 5 | $\sum \bar{M}_\psi$ | -0,19829 | -0,17169 | -0,09899 | 0 | 0,09899 | 0,17168 | 0,19828 |
| 6 | $\sum \bar{N}_\psi$ | 0,207037 | 0,260036 | 0,405332 | 0,603526 | 0,801819 | 0,943913 | 1,000011 |
| 7 | M_ψ^z, kNm | -5,92 | -5,13 | -2,96 | 0 | 2,95 | 5,13 | 5,92 |
| 8 | N_ψ^z, kH | 10,21 | 13,03 | 20,14 | 29,8 | 39,57 | 46,58 | 49,34 |
| 9 | M_ψ^e, kNm | 0,54 | 0,49 | 0,33 | 0,095 | -0,17 | -0,43 | -0,62 |
| 10 | N_ψ^e, kH | -6,3 | -6,21 | -5,83 | -5,56 | -5,11 | -4,69 | -4,37 |

Таблица 4
К расчету полимерной обделки кольцевого очертания диаметром 1200 (1154) мм.

| № п/п | ψ | 0 | 15 | 30 | 45 | 60 | 75 | 90 |
|----------|------------------------|----------|-----------|-----------|----------|-----------|-----------|-----------|
| | | 180 | 165 | 150 | 135 | 120 | 105 | |
| 1 | \bar{M}_ψ^a | -0,1968 | -0,1703 | -0,0984 | 0 | 0,0984 | 0,1703 | 0,1968 |
| 2 | \bar{N}_ψ^a | 0,213 | 0,266 | 0,41 | 0,606 | 0,803 | 0,947 | 1 |
| 3 | \bar{M}_ψ^{OT} | 0,00001 | 0,000009 | 0,000005 | 0 | -0,000007 | -0,000012 | -0,000014 |
| 4 | \bar{N}_ψ^{OT} | 0,000033 | 0,000032 | 0,000029 | 0,000023 | 0,000017 | 0,000012 | 0,0000096 |
| 5 | $\sum \bar{M}_\psi$ | -0,19679 | -0,170291 | -0,098395 | 0 | 0,098393 | 0,170288 | 0,196786 |
| 6 | $\sum \bar{N}_\psi$ | 0,213033 | 0,266032 | 0,410029 | 0,606023 | 0,803017 | 0,947012 | 1,00001 |
| 7 | M_ψ^z, kNm | -5,18 | -4,484 | -2,59 | 0 | 2,591 | 4,484 | 5,18 |
| 8 | N_ψ^z, kH | 9,53 | 11,09 | 18,34 | 27,11 | 35,93 | 42,37 | 44,74 |
| 9 | M_ψ^e, kNm | 0,48 | 0,43 | 0,29 | 0,084 | -0,15 | -0,38 | -0,55 |
| 10 | N_ψ^e, kH | -5,83 | -5,74 | -5,51 | -5,14 | -4,73 | -4,34 | -4,05 |

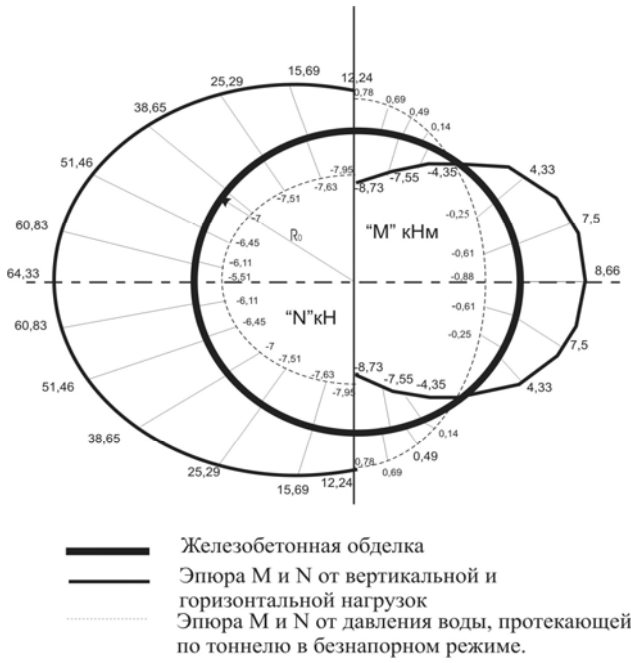


Рис. 3. Эпюра изгибающих моментов и нормальных усилий для железобетонной обделки диаметром 1495(1200) мм



Рис. 4. Эпюра изгибающих моментов и нормальных усилий для стального футляра микротоннеля диаметром 1220 (1200) мм

в безнапорном режиме, расчетанных по формулам [5]:

$$M_{\psi}^{\circ} = r^3 \Delta(0, 5 - 0, 25 \cos \psi - ,$$

-0,5ψ sin ψ), кНм;

$$N_{\psi}^{\circ} = -r^2 \Delta(1-0,25 \cos \psi -$$

$$0,5\psi \sin \psi)-\Delta r^2 ,\text{ kH},$$

где r - внутренний радиус трубы, м; Δ - удельный вес заполнителя трубы.

Для расчетов принят наихудший вариант заполнения труб – полное заполнение. Графические результаты расчетов представлены в виде эпюор для железобетонных обделок на рис. 3, для стальных – на рис. 4, для полимерных – на рис. 5.

После определения внутренних усилий в железобетонных, стальных и полиэтиленовых обделках микротоннелях от вертикальной и горизонтальной нагрузок и от давления воды, проверяем прочность наиболее загруженного сечения при

$\psi = \frac{\pi}{2}$, где действуют мак-

симальные усилия M_{ψ} , кНм и N , кН.

При проверке железобетонного микротоннеля рассматриваем полусвод обделки как бесшарнирную арку на основании указаний СНиП 52-01-2003 «Бетонные и железобетонные конструкции». Прочность сечения проверяем по растягивающим напряжениям из условия [3]:

$$N_{\max}, \quad \kappa H \leq \frac{1,75 \cdot \gamma_{b2} \cdot R_{bt} \cdot t \cdot b}{\frac{6e_0 \eta}{t} - 0,8},$$

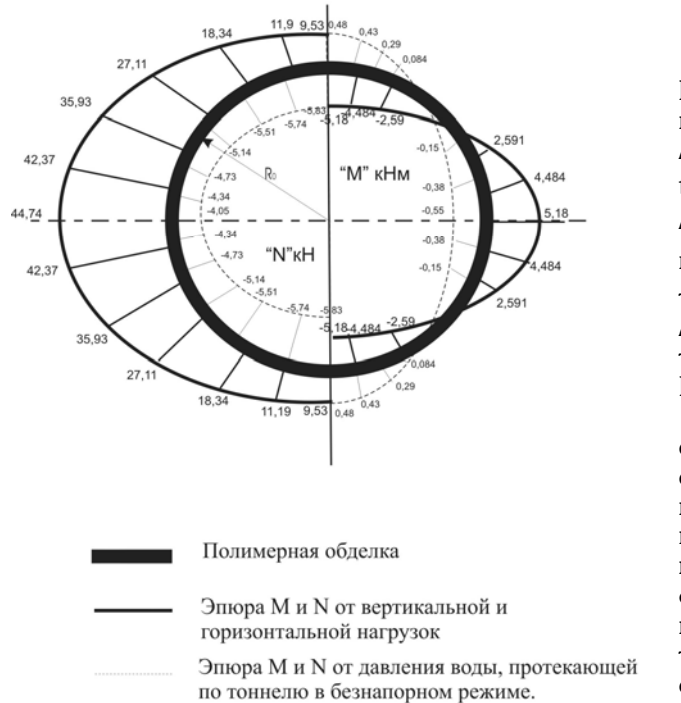


Рис. 5. Эпюра изгибающих моментов и нормальных усилий для полимерных обделок диаметром 1200 (1154) мм

При проверке прочности наиболее загруженного сечения при $\psi = \frac{\pi}{2}$ условие прочности для стальных конструкций [3,6]:

$$\sigma = \frac{N}{A} \pm \frac{M}{W} \leq \gamma_s R_y,$$

Момент сопротивления вычисляем по формуле для тонкостенного кольцевого сечения, когда толщина стенки t во много раз меньше среднего диаметра сечения [2]:

$$W_p = \frac{\pi D_{cp}^2 t}{4}, \text{ м}^3.$$

Условие прочности наиболее загруженного сечения при $\psi = \frac{\pi}{2}$ для полимерных обделок [1,7]:

$$\sigma = \frac{N}{A} \pm \frac{M}{W} \leq m_c R^u,$$

R^u - нормативное длительное сопротивление материала труб определяется (при $t=20^\circ\text{C}$ и сроке службы 50 лет): $R^u = \sigma_{50} / k_3$,

где σ_{50} - показатель длительной прочности при 50-летнем сроке службы для труб из ПНД составляет 6,5 МПа;

После проверки прочности наиболее загруженных сечений проверили прочность сечения по растягивающим напряжениям при коррозионном разрушении обделки и находим значение, при котором обделка теряет свою несущую способность, т.е. может произойти авария в микротоннеле.

Применяя вышеизложенный метод расчетов, находим граничные условия для железобетонных обделок из бетонов классов В35, В45,

В50. Бетоны класса В35, В45, В50 имеют нормативные характеристики по СНиП 52-01-2003 «Бетонные и железобетонные конструкции». После расчетов толщины обделки, при которой наступит потеря ее несущей способности, результаты сведены в табл. 5. Рассчитали при какой толщине стали футляр потеряет свою несущую способность, для чего уменьшаем толщину и по условию прочности для стальных конструкций проверяем несущую способность. При выполнении расчетов видно, что после 7 мм резко уменьшается прочность конструкции, и потеря несущей способности наступает при коррозии футляра на глубину 7,8 мм. Расчеты по глубине нейтрализации стали приведены в табл. 5.

Особенностью полимерных обделок является их старение по всей массе и

Таблица 5
Границы условия для обделок микротоннелей, при которых наступает потеря их несущей способности

| Материал обделок микротоннелей | Диаметр микротоннелей, мм | Глубина коррозии обделок (футляров), мм | Критическая прочность, МПа |
|---------------------------------------|----------------------------------|--|-----------------------------------|
| Железобетон | B35 | 1200 | 9 |
| | B40 | 1200 | 14 |
| | B45 | 1200 | 17 |
| | B50 | 1200 | 21 |
| Сталь | 1200 | 3,9 | |
| Полимер | 1154 | - | 4,99 |

разрушение одновременное и полностью. В связи с этим мы исследовали не глубину деструкции, а при каком напряжении в стенке обделки произойдет отказ. Деструкция полимерных обделок наступит при максимальном напряжении в стенке трубы, равном 4,99 МПа, резкое возрас-

тание напряжения по нашим расчетам наступает после 3,97 МПа.

Как результат математического моделирования получили граничные условия долговечности железобетонных, стальных и полимерных обделок микротоннелей.

СПИСОК ЛИТЕРАТУРЫ

1. Агапчев В.И., Виноградов Д.А. Трубопроводы из полимерных и композиционных материалов. – М.: Интер, 2004.
2. Александров А.В., Потапов В.Д., Державин Б.П. Сопротивление материалов. - М.: Высшая школа, 2000.
3. Баклашов И.В., Борисов В.Н. Проектирование и строительство горнотехнических зданий и сооружений. - М.: Недра, 1990.
4. Баклашов И.В., Картозия Б.А. Механика подземных сооружений и конструкции крепей. 2-е издание. - М.: Недра, 1992.
5. Волков В.П., Наумов С.Н., Пирожкова А.Н., Храпов В.Г. Тоннели и метрополитены. - М.: Транспорт, 1975.
6. Картозия Б.А., Борисов В.Н. Инженерные задачи механики подземных сооружений. - М.: МГГУ, 2001.
7. Сладков А.В. Проектирование и строительство наружных сетей водоснабжения и канализации из пластмассовых труб. – М.: Стройиздат, 1988. ГИАБ

Коротко об авторе

Воронина Т.В. - аспирантка кафедры «Строительство подземных сооружений и шахт» МГТУ. Московский государственный горный университет. ud@msmu.ru

